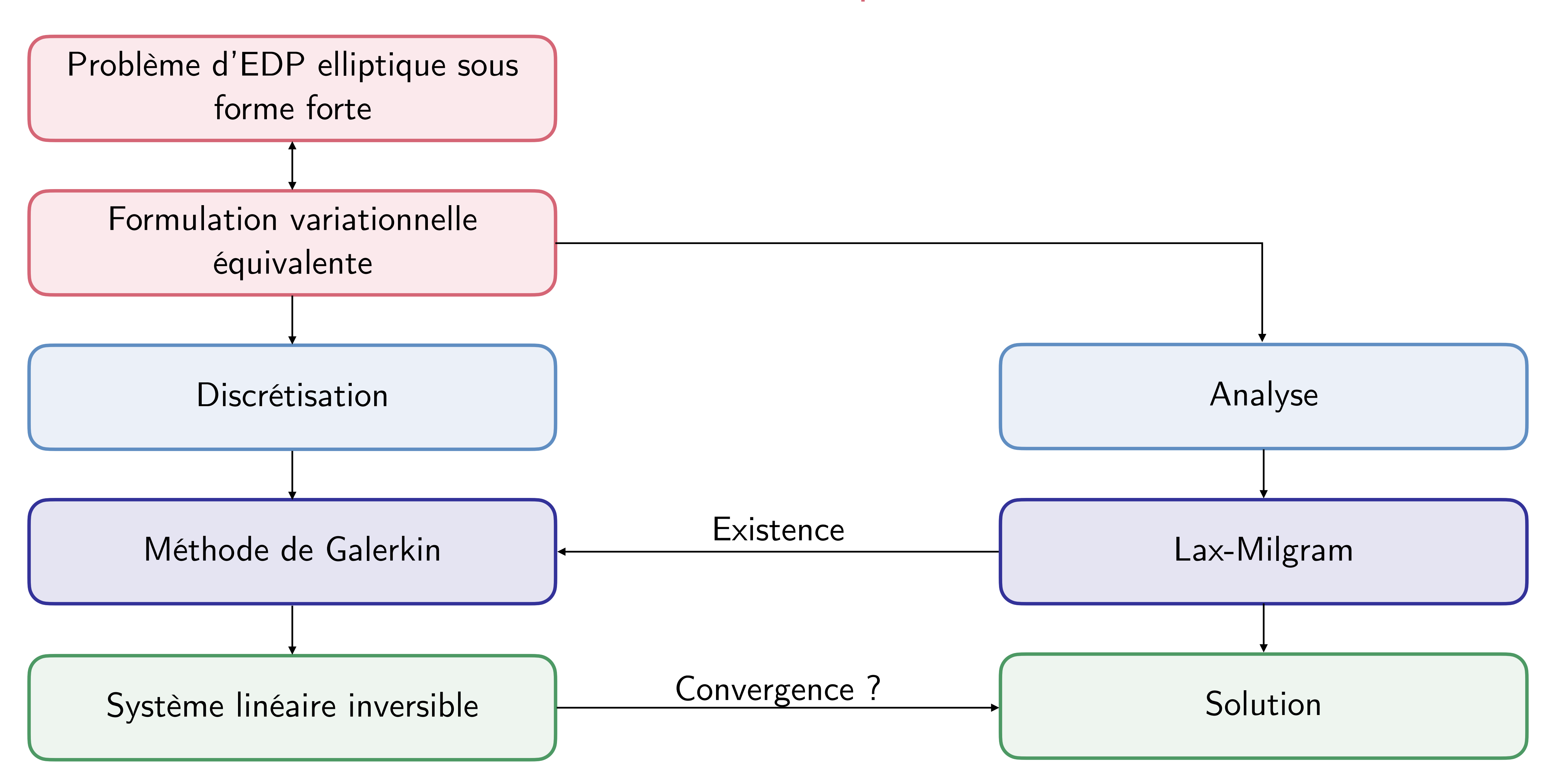
# Introduction à la méthode des Eléments Finis.

### Sonia Fliss

Chargés de TDs: Sarah Al Humaikani (UMA), Marc Bakry (CEA), Eliane Bécache (Inria, UMA), Pierre Boulogne (UMA), Xavier Claeys (UMA), Elise Fressart (CMAP, X), Benjamin Graille (Orsay), Erell Jamelot (CEA), Zois Moitier (UMA)

# Point d'étape





# Séance 6 : Analyse numérique de la méthode des éléments finis

Problème modèle et hypothèses

Convergence de l'approximation interne
Vitesse de convergence
Autres erreurs

### Problème modèle

Soient 
$$\Omega \subset \mathbb{R}^d$$
 un ouvert polygonal,  $\kappa \in L^{\infty}(\Omega)$ ,  $f \in L^2(\Omega)$   $0 < \kappa_0 \le \kappa \le \bar{\kappa}$ 

On cherche la solution u dans  $\mathcal{V} = H^1(\Omega)$ 

$$\begin{cases} -\operatorname{div}(\kappa(\underline{x}) \nabla u(\underline{x})) + u(\underline{x}) = f(\underline{x}), & \underline{x} \in \Omega \\ \frac{\partial u}{\partial n}(\underline{x}) = 0, & \underline{x} \in \partial \Omega \end{cases}$$



On cherche la solution u dans  $\mathcal{V} = H^1(\Omega)$ 

$$\forall v \in \mathcal{V}, \quad a(\underline{u}, v) = \ell(v) \quad \text{ou} \quad \begin{cases} a(\underline{u}, v) &= \int_{\Omega} \left[ \kappa(\underline{x}) \underline{\nabla} \, \underline{u}(\underline{x}) \cdot \underline{\nabla} \, v(\underline{x}) + \underline{u}(\underline{x}) v(\underline{x}) \right] d\Omega \\ \ell(v) &= \int_{\Omega} f(\underline{x}) v(\underline{x}) d\Omega \end{cases}$$

On vérifie que le théorème de Lax-Milgram s'applique! voir Amphi 3



# Maillage 2D

### Définition : Maillage triangulaire

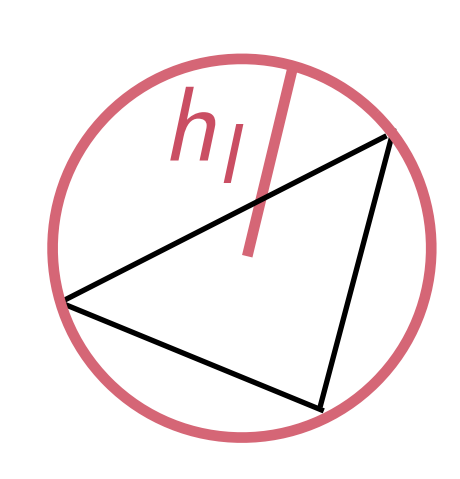
Soit  $\Omega$  un ouvert connexe polyédrique de  $\mathbb{R}^2$ . Un maillage triangulaire de  $\overline{\Omega}$  est un ensemble de  $N_e$  triangles  $\{T_I\}_{1\leq I\leq N_e}$  tels que

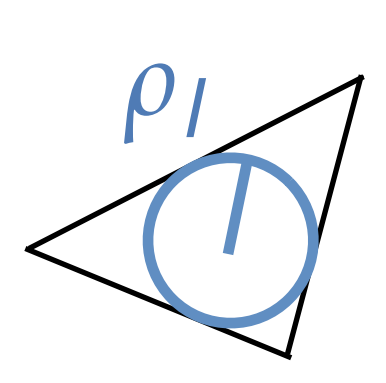
- Tout triangle  $T_k$  est d'intérieur non vide (c'est-à-dire  $T_k \neq \varnothing$ ). On définit alors  $\rho_k$  le rayon du cercle inscrit au triangle  $T_k$  et  $h_k$  le rayon du cercle circonscrit.
- $T_k \cap T_{k'} = \varnothing \text{ si } k \neq k',$
- $\bullet \quad \bigcup_{\ell} T_k = \overline{\Omega},$
- ullet toute arête d'un triangle est soit une arête d'un autre triangle soit une arête portée par la frontière  $\partial\Omega$ .

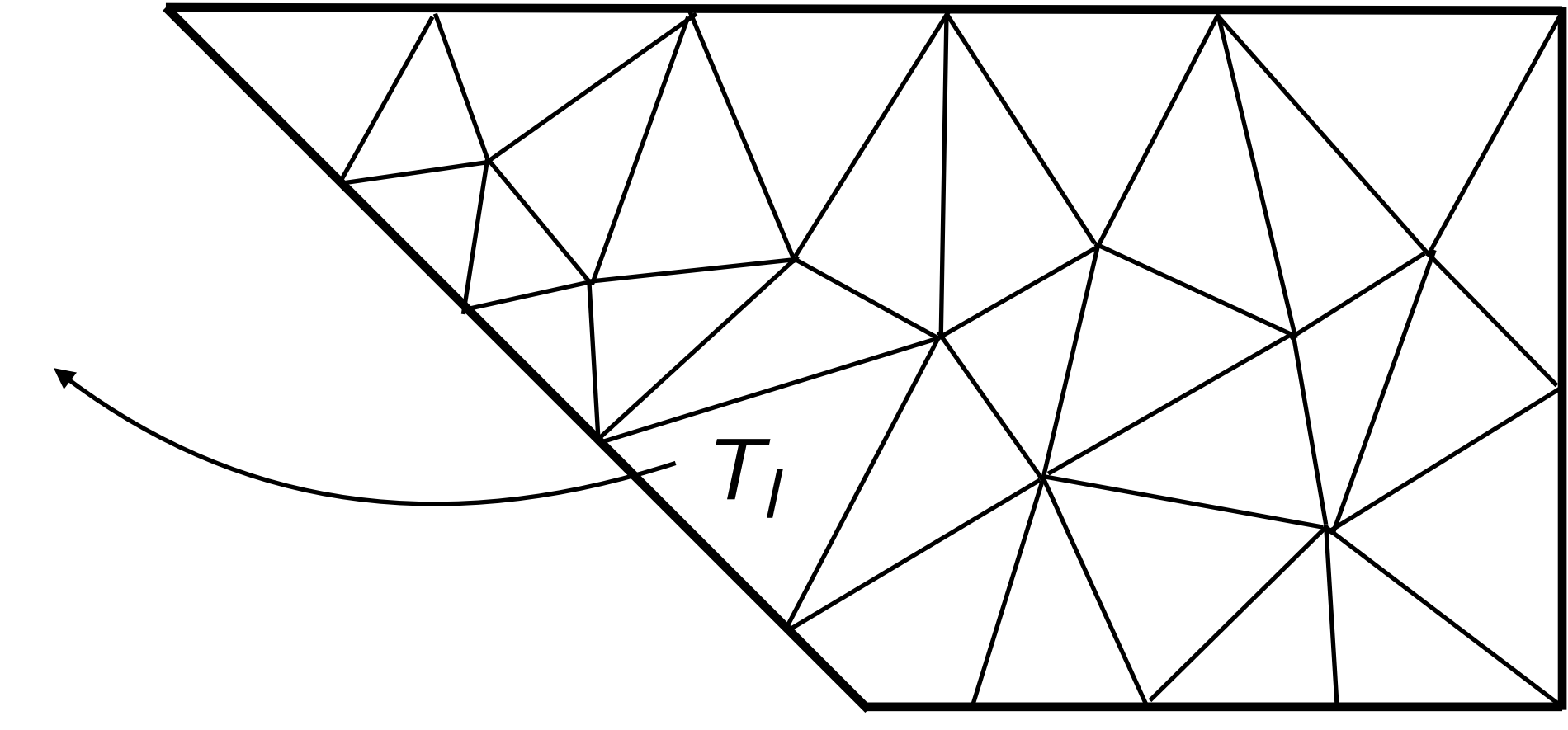
$$h(T) = \inf_{T \subset B(\underline{x},r)} r, \quad \rho(T) = \sup_{B(\underline{x},r) \subset T} r.$$

## Pas du maillage

$$h = \max_{1 \le l \le N_e} h_l$$









# Séquence de maillages

### Hypothèse

Soit  $(\mathcal{T}_h)_{h>0}$  une suite de maillages de  $\Omega$ . On suppose que la famille de maillages  $(\mathcal{T}_h)_h$  est réguliere, c'est à dire que

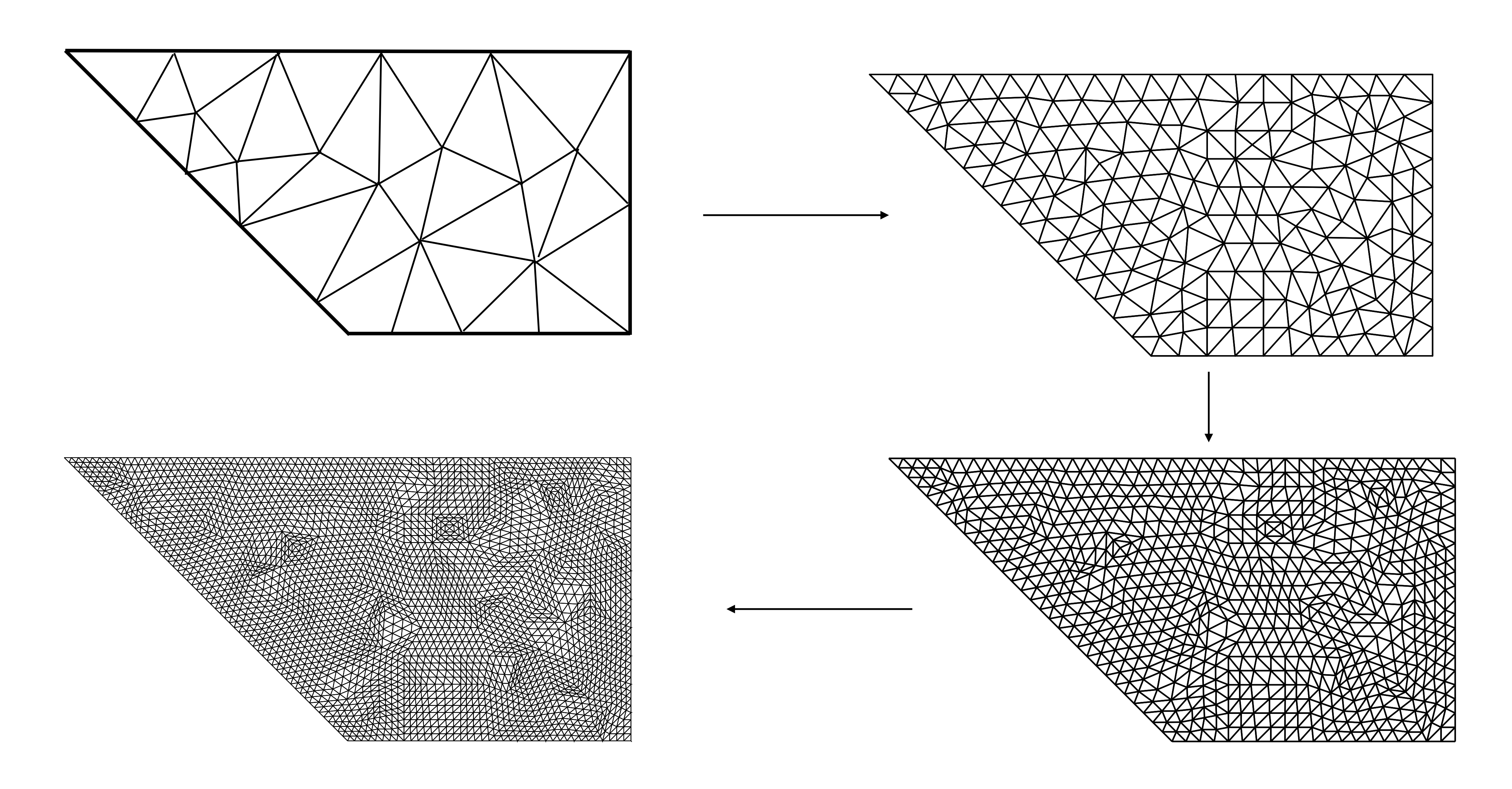
- 1. Ia suite  $h = \max_{T_I \in \mathcal{T}_h} h(T_I)$  tend vers 0,
- 2. il existe une constante C telle que, pour tout h > 0 et tout  $T \in \mathcal{T}_h$ ,

$$\frac{h(T)}{\rho(T)} \le C.$$

# **Remarques:**

- Parfois, on définit h comme étant  $\max_{T_I \in \mathcal{T}_h} \operatorname{diam}(T_I)$  où  $\operatorname{diam}(T) = \max_{(\underline{x},\underline{y}) \in T^2} |\underline{x} \underline{y}|$  c'est équivalent car  $C_1 \max_{T_I \in \mathcal{T}_h} \operatorname{diam}(T_I) \le h \le C_2 \max_{T_I \in \mathcal{T}_h} \operatorname{diam}(T_I)$
- En dimension d=2 la condition est équivalente à la condition suivante sur les angles du triangle T: il existe un angle minimum  $\theta_0 > 0$  qui minore (uniformément en h) tous les angles de tout  $T \in \mathcal{T}_h$ .

# Séquence de maillage





# Séance 6 : Analyse numérique de la méthode des éléments finis

Problème modèle et hypothèses

Convergence de l'approximation interne

Vitesse de convergence

Autres erreurs

## Formulation variationnelle discrete

ullet On écrit la formulation variationnelle dans un espace de dimension finie  $\mathcal{V}_h=\mathcal{V}_h^k\subset\mathsf{H}^1(\Omega)$  où

$$\mathcal{V}_h = \mathcal{V}_h^k = \left\{ v_h \in \mathsf{C}^0(\bar{\Omega}) \text{ tel que } v_h \, \big|_{\mathcal{T}_i} \in \mathbb{P}_k \text{ pour tout } \mathcal{T}_i \in \mathcal{T}_h 
ight\}$$

où  $\mathbb{P}_k(T_l)$  désigne l'ensemble des polynômes multivariés sur  $T_l$  de degré au maximum k

• La formulation variationnelle discrète s'écrit

On cherche  $u_h \in \mathcal{V}_h$  telle que  $\forall v_h \in \mathcal{V}_h$ ,  $a(u_h, v_h) = \ell(v_h)$ 

#### Lemme de Céa :

$$||u - u_h||_{\mathcal{V}} \le \frac{M_a}{\alpha}$$
 Erreur de meilleure approximation  $\inf_{v_h \in \mathcal{V}_h} ||u - v_h||_{\mathcal{V}}$ ,

où Ma est la constante de continuité de a, et α sa constante de coercivité

#### Preuve au tableau

## Continuité Coercivité

$$\exists M_a > 0, \ \forall v, w \in V, \quad |a(v, w)| \leq M_a ||v||_V ||w||_V$$



# Un résultat abstrait de convergence

### Proposition

On suppose qu'il existe un sous-espace  ${\mathcal W}$  dense de  ${\mathcal V}$  et, pour chaque h, une application  $r_h:{\mathcal W} o{\mathcal V}_h$ tels que

alors

$$\forall v \in \mathcal{W}, \quad \lim_{h \to 0} ||v - r_h v||_{\mathcal{V}} = 0,$$

$$\lim_{h \to 0} ||u - u_h||_{\mathcal{V}} = 0,$$

**Preuve** Soit  $\varepsilon > 0$ ,  $\mathcal{W}$  est dense dans  $\mathcal{V}$  donc, il existe  $w \in \mathcal{W}$  tel que  $\|u - w\|_{\mathcal{V}} \le \frac{\alpha \varepsilon}{2M_a}$ . Par hypothèse, il existe  $h(\varepsilon) > 0$  tel que  $\forall h \le h(\varepsilon)$ ,  $\|w - r_h w\|_{\mathcal{V}} \le \frac{\alpha \varepsilon}{2M_a}$ .

D'après le lemme de Céa, nous avons donc

$$\|u-u_h\|_{\mathcal{V}} \leq \frac{M_a}{\alpha}\|u-r_hw\|_{\mathcal{V}} \leq \frac{M_a}{\alpha}\left[\|u-w\|_{\mathcal{V}} + \|w-r_hw\|_{\mathcal{V}}\right] \leq \varepsilon$$

#### Corollaire

Pour notre problème modèle, on a convergence de la méthode EF

$$\lim_{h\to 0}||u-u_h||_{\mathcal{V}}=0,$$

Il suffit de choisir  $W=C^{\infty}(\overline{\Omega})$ ,  $r_h=\Pi_h^k$  et d'utiliser ce que nous allons faire dans la suite pour la convergence dans W.Ce résultat est vrai sans hypothèse supplémentaire sur u.



# Séance 6 : Analyse numérique de la méthode des éléments finis

Problème modèle et hypothèses Convergence de l'approximation interne

Vitesse de convergence

Autres erreurs

# Vitesse de convergence

### Définition : Vitesse de convergence

On dit que l'approximation interne est convergente à l'ordre  $\beta$  s'il existe une constante C>0, indépendante de h telle que

$$||u-u_h||_{\mathcal{V}}\leq Ch^{\beta}.$$

Comme

$$||u - u_h||_{\mathcal{V}} \le \frac{M_a}{\alpha} \inf_{v_h \in \mathcal{V}_h^k} ||u - v_h||_{\mathcal{V}}$$

on est donc ramené à étudier la vitesse de convergence de  $\inf_{v_h \in \mathcal{V}_h^k} \|u - v_h\|_{\mathcal{V}}$ , Erreur de meilleure approximation

(La control de la régularité de la régularité de la la ré

# Opérateur d'interpolation

## Définition: Opérateur d'interpolation

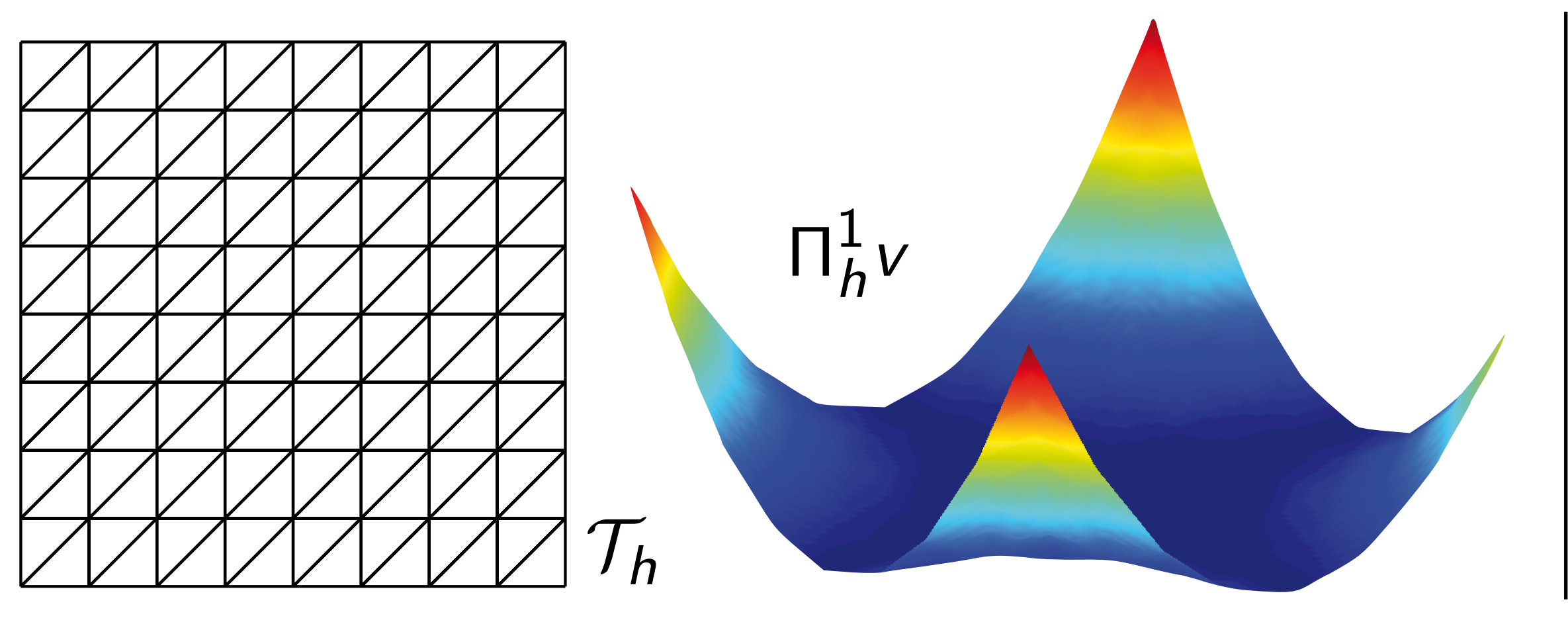
On appelle opérateur d'interpolation  $\mathbb{P}_k$  l'application linéaire  $\Pi_h^k$  de  $\mathsf{C}^0(\overline{\Omega})$  dans  $\mathcal{V}_h^k$ , définie par

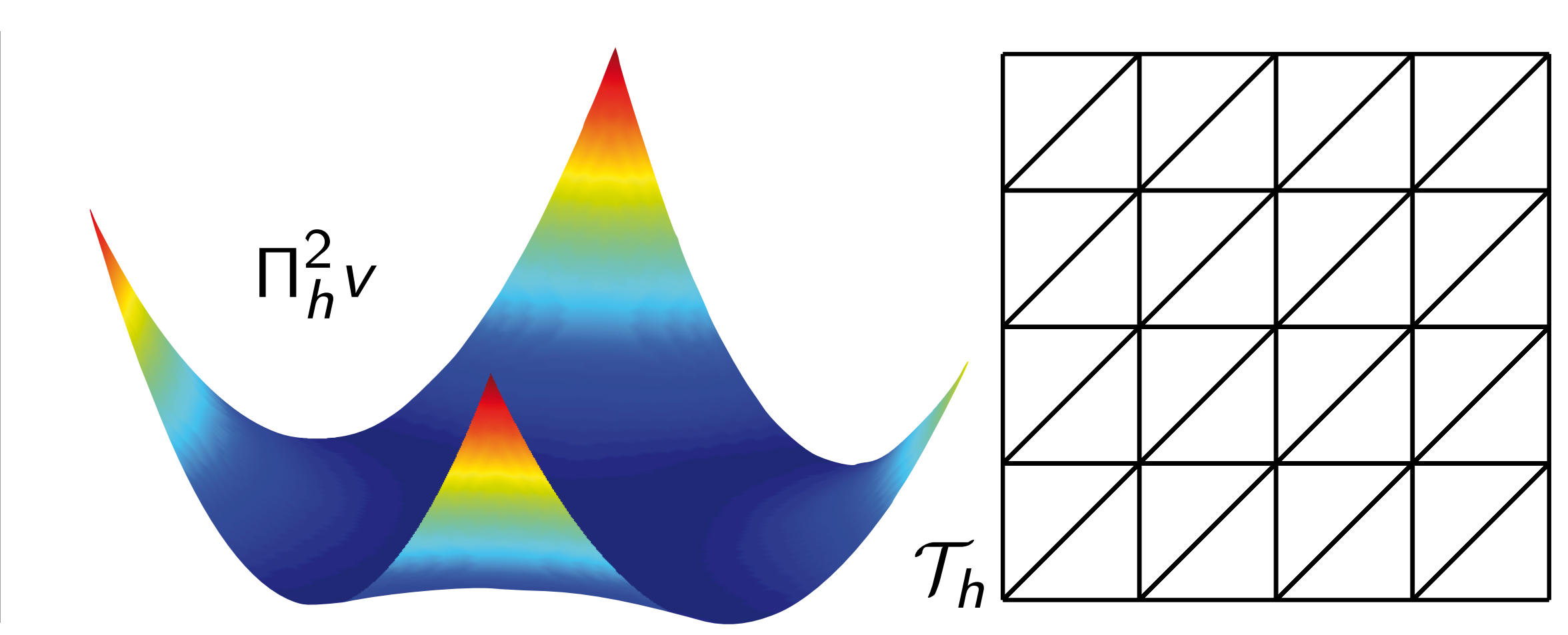
$$\forall v \in C^0(\overline{\Omega}), \quad (\Pi_h^k v)(\underline{x}) = \sum_{j=1}^N v(\underline{S}_j)\phi_j(\underline{x}),$$

où la famille  $\{\phi_i,\ j\in \llbracket 1,N
rbracket\}$  est la base éléments-finis de  $\mathbb{P}_k$ 

 $\Pi_h^k v$  est l'unique fonction de  $\mathcal{V}_h$  qui prend les mêmes valeurs que v aux noeuds  $(\underline{S}_i)_i$ 

• Exemple  $v:(x,y)\mapsto x^2y^2$ 





# Opérateur d'interpolation

## Définition : Opérateur d'interpolation

On appelle opérateur d'interpolation  $\mathbb{P}_k$  l'application linéaire  $\Pi_h^k$  de  $\mathsf{C}^0(\overline{\Omega})$  dans  $\mathcal{V}_h^k$ , définie par

$$\forall v \in C^0(\overline{\Omega}), \quad (\Pi_h^k v)(\underline{x}) = \sum_{j=1}^N v(\underline{S}_j)\phi_j(\underline{x}),$$

où la famille  $\{\phi_i,\ j\in\llbracket 1,N
rbracket\}$  est la base éléments-finis de  $\mathbb{P}_k$ 

### Proposition

L'opérateur  $\Pi_h^k$  est un opérateur de projection.

$$\forall v_h \in \mathcal{V}_h^k, \quad \Pi_h^k v_h = v_h$$

Remarque: on aimerait utiliser  $\prod_{h=0}^{k} u$  dans le lemme de Céa

$$\|u - u_h\|_{\mathcal{V}} \le \frac{M_a}{\alpha} \inf_{v_h \in \mathcal{V}_h} \|u - v_h\|_{\mathcal{V}} \le \frac{M_a}{\alpha} \|u - \Pi_h^k u\|_{H^1(\Omega)}$$

Question : est ce que la solution u est dans  $C^0(\overline{\Omega})$ ?

# Régularité de la solution

## Proposition: Régularité des espaces de Sobolev [ADMIS]

Si  $\Omega$  est un ouvert de frontière suffisamment régulière et si  $m>\frac{d}{2}+k$  alors  $H^m(\Omega)$  s'injecte de manière continue dans  $C^k(\overline{\Omega})$ , c'est à dire:

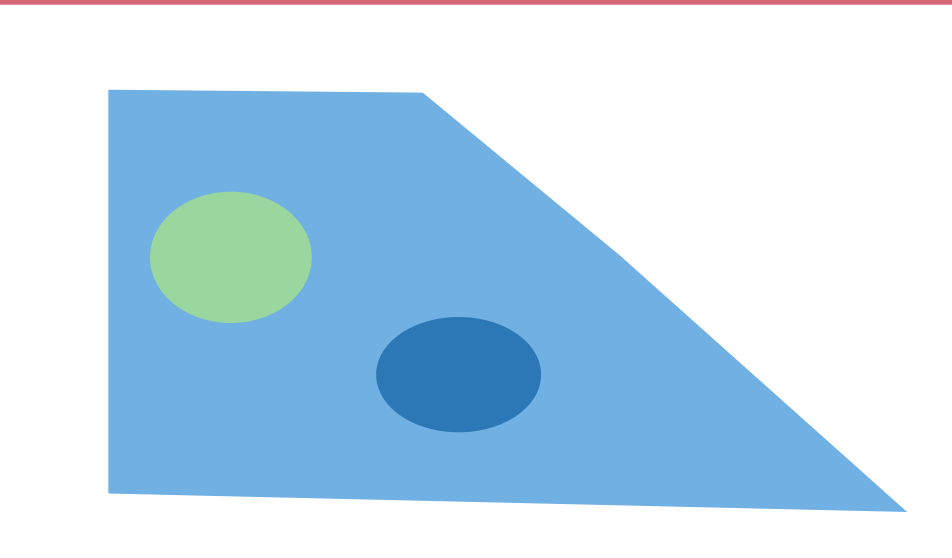
$$\mathsf{H}^m(\Omega)\subset\mathsf{C}^k(\overline{\Omega})\quad ext{et} \quad \exists C>0, \ \forall u\in\mathsf{H}^m(\Omega), \quad \|u\|_{\mathsf{C}^k(\overline{\Omega})}\coloneqq \sup_{x\in\overline{\Omega}}\sum_{|\alpha|\leq k}|\partial^{\alpha}u(x)|\leq C\|u\|_{\mathsf{H}^m(\Omega)}.$$

• On en déduit que si d=1 alors  $\mathrm{H}^1(\Omega)\subset\mathrm{C}^0(\Omega)$  mais c'est faux pour  $d\geq 2$  si d=2, 3 alors  $\mathrm{H}^2(\Omega)\subset\mathrm{C}^0(\Omega)$ 

## Proposition: Régularité des espaces de solutions [ADMIS]

Si  $\Omega$  est un ouvert de frontière suffisamment régulière et si  $u \in H^1(\Omega)$  avec  $\Delta u \in L^2(\Omega)$  et u = 0 ou  $\underline{\nabla} u \cdot n = 0$  sur  $\partial \Omega$  alors  $u \in C^0(\overline{\Omega})$ 

Pour le problème modèle, le coefficient  $\kappa$  doit être assez régulier ou réguliers par morceaux par inclusions



# Étude de l'erreur d'interpolation $\|u - \Pi_h^k u\|_{H^1(\Omega)}$

D'après le lemme de Céa et si on suppose que  $u\in C^0(\overline{\Omega})$ , on peut utiliser l'opérateur d'interpolation

$$\|u - u_h\|_{\mathcal{V}} \le \frac{M_a}{\alpha} \inf_{v_h \in \mathcal{V}_h} \|u - v_h\|_{\mathcal{V}} \le \frac{M_a}{\alpha} \|u - \Pi_h^k u\|_{H^1(\Omega)}$$
Erreur d'interpolation

On se ramène à l'étude d'erreurs d'interpolation locale

$$\|\mathbf{u} - \Pi_{h}^{k} \mathbf{u}\|_{H^{1}(\Omega)}^{2} = \int_{\Omega} (\mathbf{u} - \Pi_{h}^{k} \mathbf{u})^{2} d\Omega + \int_{\Omega} \left| \vec{\nabla} (\mathbf{u} - \Pi_{h}^{k} \mathbf{u}) \right|^{2} d\Omega$$
$$= \sum_{\ell=1}^{N_{e}} \int_{T_{\ell}} (\mathbf{u} - \Pi_{h}^{k} \mathbf{u})^{2} d\Omega + \sum_{\ell=1}^{N_{e}} \int_{T_{\ell}} \left| \vec{\nabla} (\mathbf{u} - \Pi_{h}^{k} \mathbf{u}) \right|^{2} d\Omega$$

### **Definition:** semi-normes locales

Sur chaque élément  $T_\ell$  de  $\mathcal{T}_h$ , on définit les semi-normes  $|v|_{m,T_\ell}^2 \coloneqq \sum_{\substack{\alpha \in \mathbb{N}^d \\ |\alpha| = m}} \int_{T_\ell} \left| \partial_{x_1^{\alpha_1} \dots x_d^{\alpha_d}}^{|\alpha|} v \right|^2 d\Omega$ .

En particulier  $|v|_{0,T_\ell} = \left(\int_{T_\ell} v^2 \,\mathrm{d}\Omega\right)^{\frac{1}{2}} \,\,\mathrm{et} \,\, |v|_{1,T_\ell} = \left(\int_{T_\ell} |\underline{\nabla} \,v|^2 \,\mathrm{d}\Omega\right)^{\frac{1}{2}} \,\,\mathrm{et} \,\, |v|_{2,T_\ell} = \left(\int_{T_\ell} |\underline{\underline{\nabla}}^2 v|^2 \,\mathrm{d}\Omega\right)^{\frac{1}{2}}$ 



### Théorème de Bramble Hilbert

#### Théorème : Bramble-Hilbert

Pour tout triangle  $T_I \in \mathcal{T}_h$  supposé non dégénéré, on note  $h_I = h(T_I) \neq 0$  et  $\rho_I = \rho(T_I) \neq 0$ . Il existe une constante C indépendante de  $T_I$  telle que pour tout  $v \in C^0(\overline{T_I}) \cap H^{k+1}(T_I)$  on a

$$\forall m \in [0, k], \quad |v - \Pi_h^k v|_{m, T_l} \leq C \frac{h_l^{k+1}}{\rho_l^m} |v|_{k+1, T_l}.$$

#### Lemme 1: Retour à l'élément de référence :

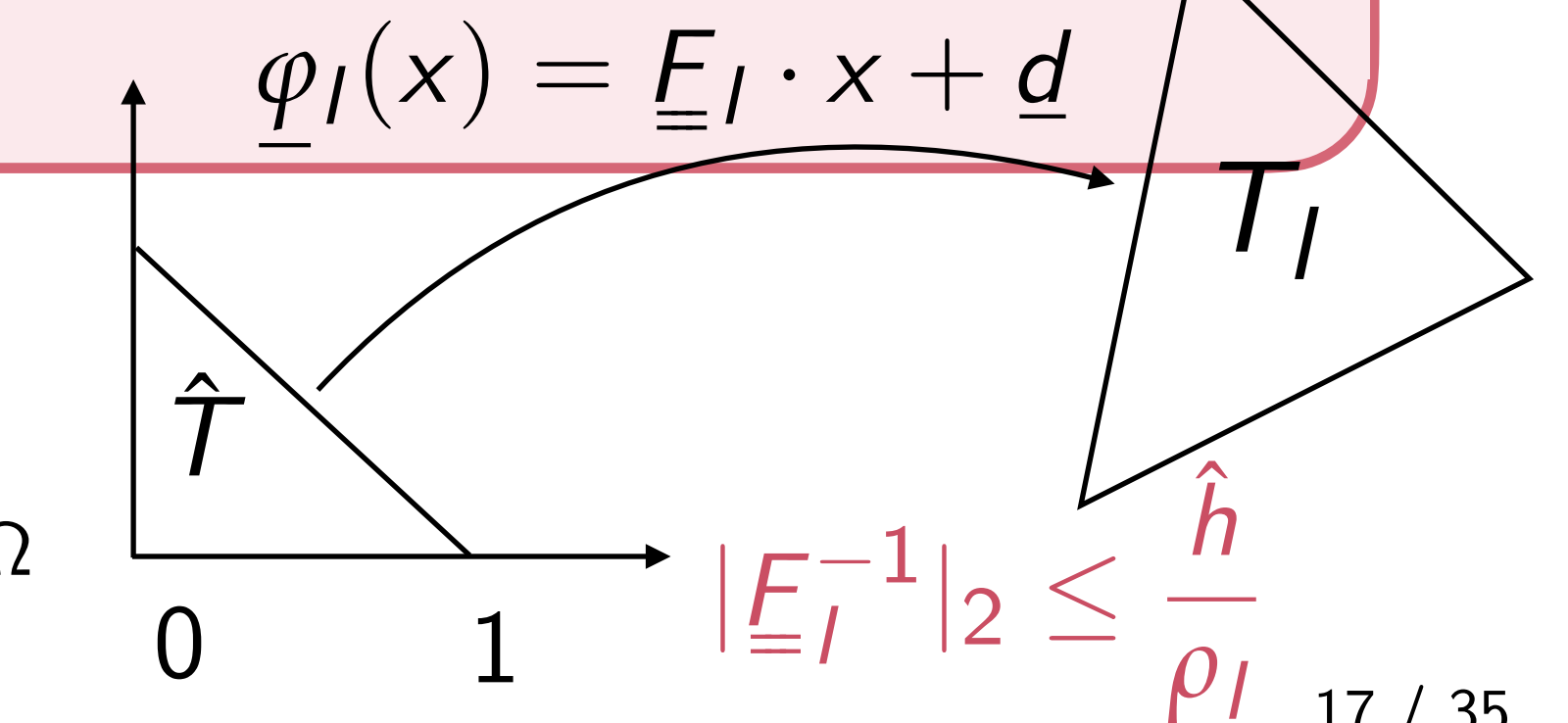
Pour tout triangle  $T_I \in \mathcal{T}_h$  supposé non dégénéré, on note  $h_I = h(T_I) \neq 0$  et  $\rho_I = \rho(T_I) \neq 0$ . Soient  $m \in \mathbb{N}$ ,  $v \in H^m(T_I)$  et  $\hat{v} = v \circ \hat{\varphi}_I \in H^m(\hat{T})$ , il existe des constantes  $C_m$  et  $C_m'$  telles que

$$|v|_{m,T_{I}} \leq C_{m}\rho_{I}^{-m}|\det \underline{F}_{I}|^{\frac{1}{2}}|\hat{v}|_{m,\hat{T}},$$

$$|\hat{v}|_{m,\hat{T}} \leq C'_m h_I^m |\det \underline{F}_I|^{-\frac{1}{2}} |v|_{m,T_I}.$$

Preuve: Changement de variable

$$\begin{aligned} |v|_{0,T_{I}}^{2} &\leq \int_{\hat{T}} |\hat{v}|^{2} |\det(\underline{F}_{I})| \, d\Omega \leq |\det(\underline{F}_{I})| \, |\hat{v}|_{0,\hat{T}}^{2} \\ |v|_{1,T_{I}}^{2} &\leq \int_{\hat{T}} |\underline{F}_{I}^{-\intercal} \cdot \underline{\nabla} \, \hat{v}|^{2} |\det(\underline{F}_{I})| \, d\Omega \leq |\underline{F}_{I}^{-1}|_{2}^{2} |\det(\underline{F}_{I})| \int_{\hat{T}} |\underline{\nabla} \, \hat{v}|^{2} \, d\Omega \leq \frac{\hat{h}}{\hat{\rho}_{I}} |\det(\underline{F}_{I})| \int_{\hat{T}} |\underline{\nabla} \, \hat{v}|^{2} \, d\Omega \end{aligned}$$





# Preuve du théorème de Bramble-Hilbert — étape ii

## Lemme 2: inégalité sur l'élément de référence :

Soit  $\hat{\Pi}^k$  l'opérateur d'interpolation sur  $(\hat{T})$ . Il existe une constante C telle que pour tout  $\hat{v} \in H^{k+1}(\hat{T})$  on a

$$|\hat{\mathbf{v}} - \hat{\Pi}^k \hat{\mathbf{v}}|_{\mathsf{H}^k(\hat{T})} \leq C |\hat{\mathbf{v}}|_{k+1,\hat{T}}.$$

• Preuve dans le cas particulier k=1, d=1. Dans ce cas,  $\hat{\Pi}^1\hat{v}=(\hat{v}(1)-\hat{v}(0))x+\hat{v}(0)$ 

On a  $\hat{v} - \Pi^1 \hat{v} \in H^1_0([0,1])$  donc par l'inégalité de Poincaré $|\hat{v} - \hat{\Pi}^1 \hat{v}|_{L^2(]0,1[)} \le C|\hat{v}' - (\hat{\Pi}^1 \hat{v})'|_{L^2(]0,1[)}$ 

De plus,  $(\hat{\Pi}^1 \hat{v})' = \int_0^1 \hat{v}' \operatorname{donc} \, \hat{v}' - (\hat{\Pi}^1 \hat{v})' \in H^1_\sharp([0,1]) := \left\{ w \in H^1([0,1]) \mid \int_0^1 w = 0 \right\}$ 

donc par l'inégalité de Poincaré-Wirtinger, voir TD3, exo4.

$$\left| \hat{v}' - (\hat{\Pi}^1 \hat{v})' \right|_{\mathsf{L}^2(]0,1[)} \leq \left| \hat{v}'' - (\hat{\Pi}^1 \hat{v})'' \right|_{\mathsf{L}^2(]0,1[)} = \left| \hat{v}'' \right|_{\mathsf{L}^2(]0,1[)}$$
 On obtient: 
$$\left| \hat{v} - (\hat{\Pi}^1 \hat{v}) \right|_{\mathsf{L}^2(]0,1[)} \leq \left| \hat{v}' - (\hat{\Pi}^1 \hat{v})' \right|_{\mathsf{L}^2(]0,1[)} \leq \left| \hat{v}'' \right|_{\mathsf{L}^2(]0,1[)}$$

• Preuve dans le cas général : par l'absurde, on suppose qu'il existe une suite de fonctions qui ne vérifient pas l'inégalité et on utilise le théorème de Rellich hors programme, voir TD3 Exo5 et 5ANA1



# Convergence de la méthode

#### Théorème:

Soit  $(\mathcal{T}_h)_{h>0}$  une suite de maillages régulière de  $\Omega$ . Si  $u\in \mathsf{C}^0(\overline{\Omega})$  et pour tout  $T_I\in\mathcal{T}_h$ ,  $u\in\mathsf{H}^{k+1}(T_I)$ il existe C une constante indépendante de h et de u telle que

$$||u - u_h||_{\mathsf{H}^1(\Omega)} \le Ch^k \left( \sum_{l=1}^{N_e} |u|_{k+1,T_l}^2 \right)^{\frac{1}{2}}$$

#### Preuve

$$\|v - \Pi_h^k v\|_{H^1(\Omega)}^2 = \int_{\Omega} |\nabla (v - \Pi_h^k v)|^2 d\Omega + \int_{\Omega} (v - \Pi_h^k v)^2 d\Omega$$

où 
$$\int_{\Omega} (v - \Pi_h^k v)^2 d\Omega = \sum_{l=1}^{N_e} \left| v - \Pi_h^k v \right|_{0, T_l}^2 \le C \sum_{l=1}^{N_e} h_l^{2k+2} \left| v \right|_{k+1, T_l}^2$$

et 
$$\int_{\Omega} |\underline{\nabla} (v - \Pi_h^k v)|^2 d\Omega = \sum_{l=1}^{N_e} |v - \Pi_h^k v|^2_{1, T_l} \le C \sum_{l=1}^{N_e} \frac{h_l^{2k+2}}{\rho_l^2} |v|^2_{k+1, T_l}$$

Comme la suite de maillage est régulière  $\forall \mathcal{T}_h$ ,  $\forall \mathcal{T}_l \in \mathcal{T}_h$ ,  $\frac{h(\mathcal{T}_l)}{\rho(\mathcal{T}_l)} \leq \delta$  on en déduit  $\|v - \Pi_h^k v\|_{H^1(\Omega)}^2 \leq C(\delta^2 + h^2)h^{2k} \sum_{l=1}^{N_e} |v|_{k+1,\mathcal{T}_l}^2$  on en déduit  $\|v - \Pi_h^k v\|_{H^1(\Omega)}^2 \leq C(\delta^2 + h^2)h^{2k} \sum_{l=1}^{N_e} |v|_{k+1,\mathcal{T}_l}^2$ 

$$|v - \Pi_h^k v|_{\mathsf{H}^1(\Omega)}^2 \le C(\delta^2 + h^2)h^{2k} \sum_{l=1}^{\infty} |v|_{k+1,T_l}^2$$



# Convergence de la méthode

#### Théorème:

Soit  $(\mathcal{T}_h)_{h>0}$  une suite de maillages régulière de  $\Omega$ . Si  $u\in \mathsf{C}^0(\overline{\Omega})$  et pour tout  $T_I\in\mathcal{T}_h$ ,  $u\in\mathsf{H}^{k+1}(T_I)$ il existe C une constante indépendante de h et de u telle que

$$||u - u_h||_{\mathsf{H}^1(\Omega)} \le Ch^k \left( \sum_{l=1}^{N_e} |u|_{k+1,T_l}^2 \right)^{\frac{1}{2}}$$

On rappelle que  $u_h \in \mathcal{V}_h^k$ .

!\ Remarques: • ce résultat de convergence nécessite une hypothèse de régularité sur la solution.

• Si k=1 (i.e. quand on utilise des éléments finis de Lagrange  $\mathbb{P}^1$ ) et si  $\forall \mathcal{T}_h, \ \forall \mathcal{T}_\ell, \ u \in H^2(\mathcal{T}_\ell)$  alors la méthode converge à l'ordre 1 en norme  $H^1$ 

### **Exemples:**

Si  $\kappa \in C^1(\Omega)$ , et  $\Omega$  est convexe alors on peut montrer que  $u \in H^2(\Omega) \Rightarrow \forall T_I, \quad u \in H^2(T_I)$ 

Si  $\Omega=\Omega_1\cup\Omega_2$  avec  $\Omega_1$  et  $\Omega_2$  convexe et  $\kappa$  constant par domaine  $u \in H^2(\Omega_1)$  et  $u \in H^2(\Omega_2)$  mais  $u \notin H^2(\Omega)$ 





# Convergence de la méthode

#### Théorème:

Soit  $(\mathcal{T}_h)_{h>0}$  une suite de maillages régulière de  $\Omega$ . Si  $u\in C^0(\overline{\Omega})$  et pour tout  $T_I\in\mathcal{T}_h$ ,  $u\in H^{k+1}(T_I)$ il existe C une constante indépendante de h et de u telle que

$$\|u-u_h\|_{\mathsf{H}^1(\Omega)} \leq Ch^k \left(\sum_{l=1}^{N_e} |u|_{k+1,T_l}^2\right)^{\frac{1}{2}}$$
 On rappelle



Remarques: ● ce résultat de convergence nécessite une hypothèse de régularité sur la solution.

- Si k=1 (i.e. quand on utilise des éléments finis de Lagrange  $\mathbb{P}^1$ ) et si  $\forall \mathcal{T}_h, \ \forall \mathcal{T}_\ell, \ \textit{\textbf{\textit{u}}} \in H^2(\mathcal{T}_\ell)$  alors la méthode converge à l'ordre 1 en norme  $H^1$
- Par contre si on utilise des E.F. d'ordre au moins 2, une vitesse de convergence meilleure n'est pas garantie. Il faudrait que u soit encore plus régulière.
- Si la solution n'est pas régulière, cette convergence n'implique pas une convergence ponctuelle de u ou de ses dérivées.

# Attention à l'éventuelle perte de regularité locale

#### Théorème:

Soit  $(\mathcal{T}_h)_{h>0}$  une suite de maillages réguliers de  $\Omega$ . Si  $u\in C^0(\overline{\Omega})$  et pour tout  $T_I\in\mathcal{T}_h, u\in H^{p+1}(T_I)$ il existe C une constante indépendante de h et de u telle que

$$\|u-u_h\|_{\mathsf{H}^1(\Omega)} \leq Ch^{\beta} \left(\sum_{l=1}^{N_e} |u|_{k+1,T_l}^2\right)^{\frac{1}{2}} \text{ où } \beta = \min(k,p)$$
 On rappelle que  $u_h \in \mathcal{V}_h^k$ .



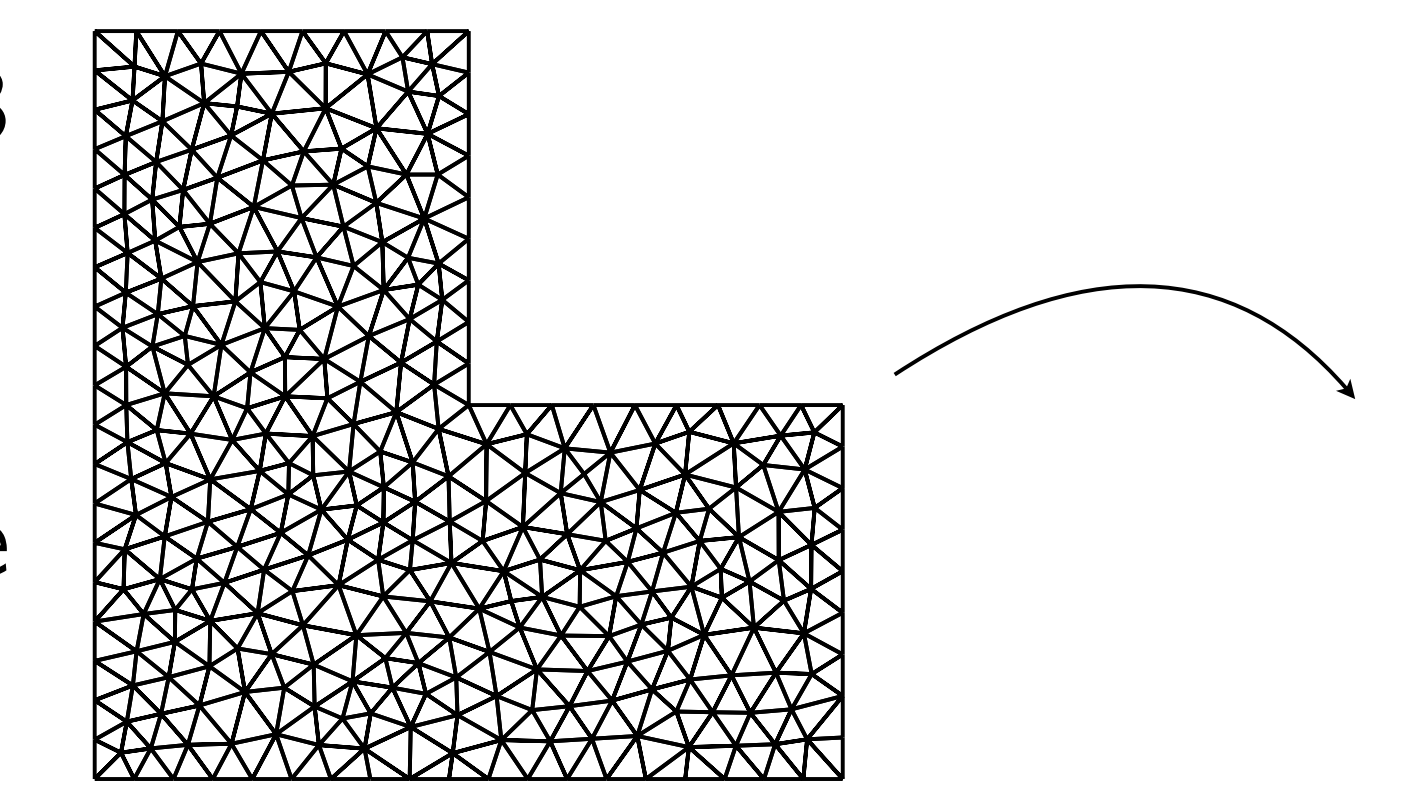
Remarques: • Il faut prendre en compte la régularité de la solution avant de choisir l'espace de discrétisation

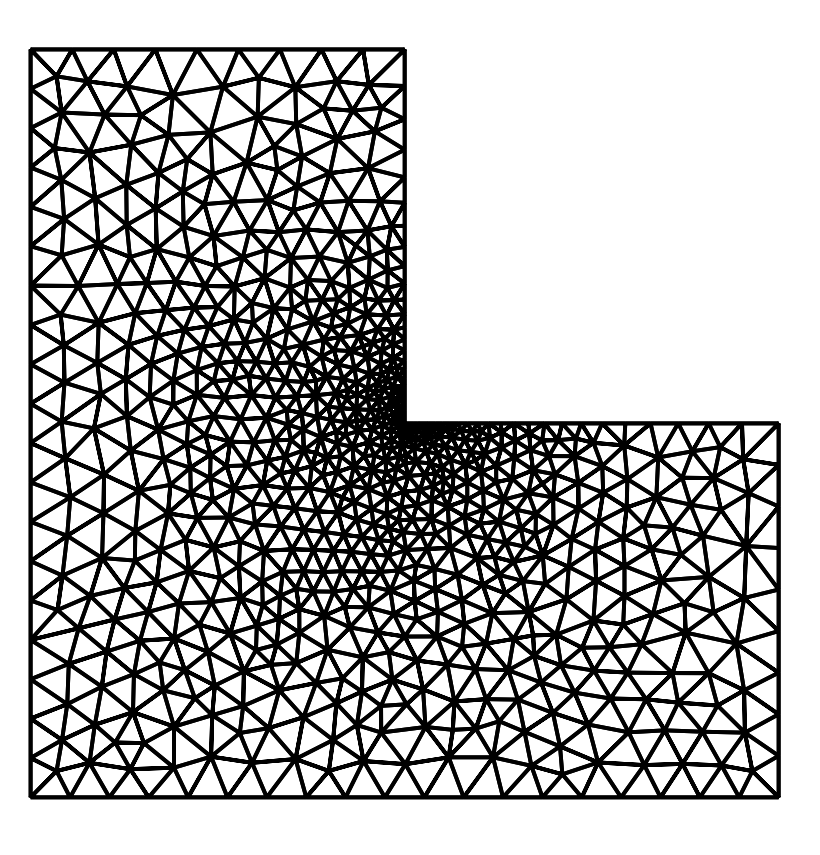
### Exemple

Si  $\kappa$  est une constante et  $\Omega$  est un domaine en forme de L (donc non convexe)

$$u \in H^s(\Omega) \Rightarrow \forall \mathcal{T}_h, \ \forall T_\ell, \ u \in H^s(T_\ell) \quad \text{avec } s < 5/3$$

- L'erreur sur la solution n'est pas uniforme sur le domaine
  - On peut donc raffiner localement le maillage





### Estimation en fonction des données

#### Théorème:

Soit  $\Omega$  un ouvert convexe polygonal et  $(\mathcal{T}_h)_{h>0}$  une suite de maillages réguliers de  $\Omega$ . Soit  $u_h \in \mathcal{V}_h$ , l'approximation interne par la méthode des éléments finis  $\mathbb{P}_1$  pour  $d \in \{2,3\}$ . On suppose par ailleurs que  $f \in \mathsf{L}^2(\Omega)$ . Alors il existe C est une constante indépendante de h et de u telle que

$$||u - u_h||_{\mathsf{H}^1(\Omega)} \le Ch||u||_{2,\Omega}$$

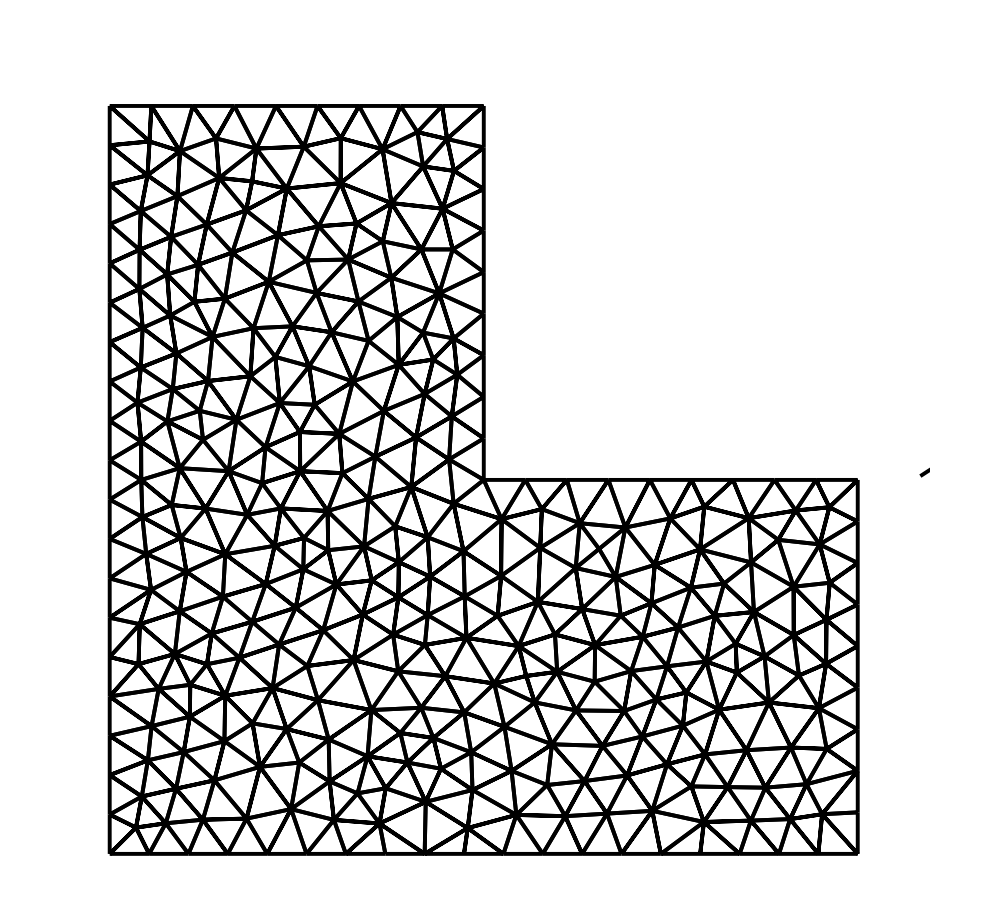
et surtout

$$||u-u_h||_{\mathsf{H}^1(\Omega)} \leq Ch||f||_{\mathsf{L}^2(\Omega)}$$

• Remarque: Si u n'est pas assez régulière on va perdre un ordre de convergence

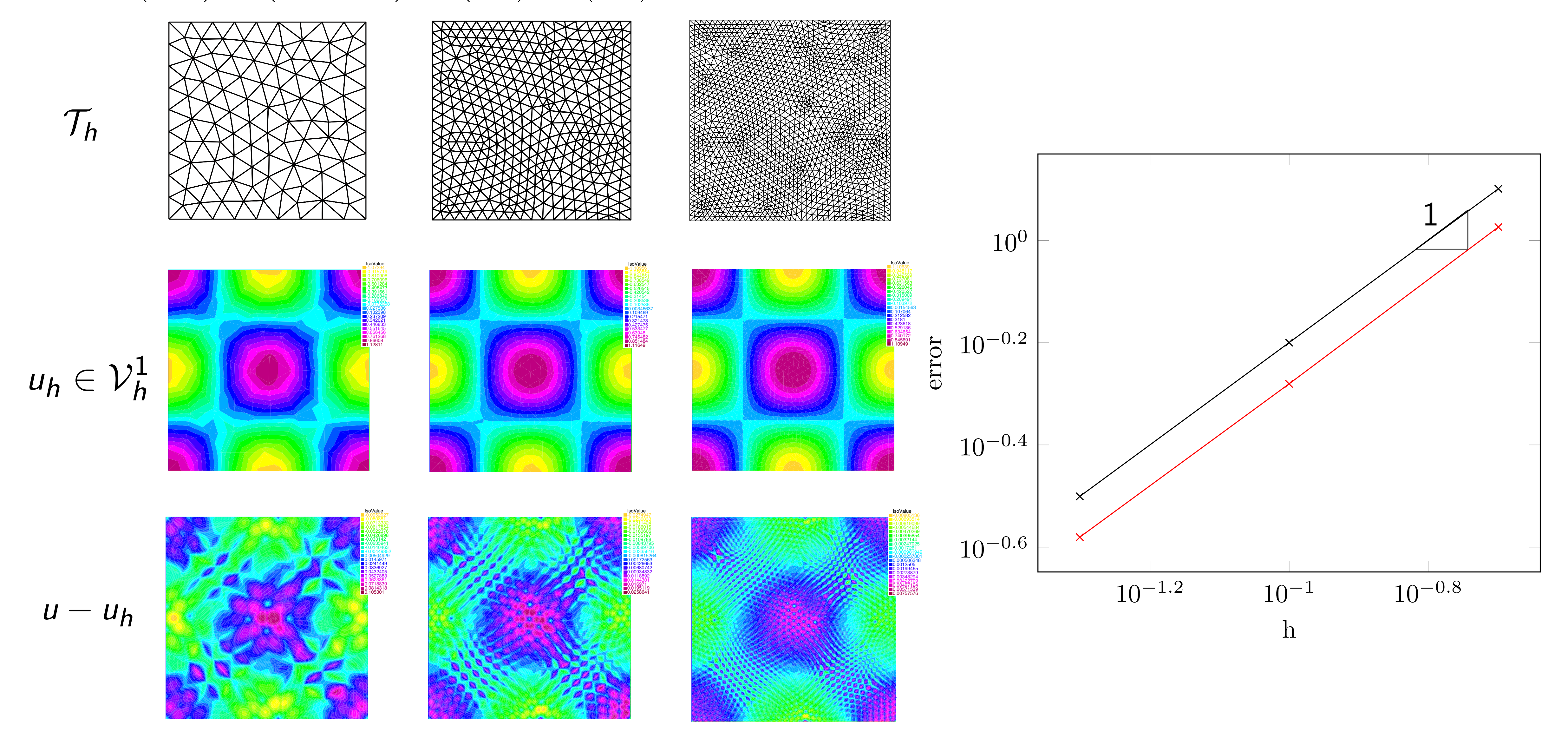
$$\forall s \leq s_{\max} \leq 1, \quad \|u - u_h\|_{\mathsf{H}^1(\Omega)} \leq C_s h^s \|u\|_{1+s,\Omega}$$

$$\|u - u_h\|_{\mathsf{H}^1(\Omega)} \leq C_s h^s \|f\|_{\mathsf{L}^2(\Omega)}$$



# Exemple numérique

• Pour  $f(x, y) = (2\pi^2 + 1)\cos(\pi x)\cos(\pi y)$  et  $\kappa = 1$ 

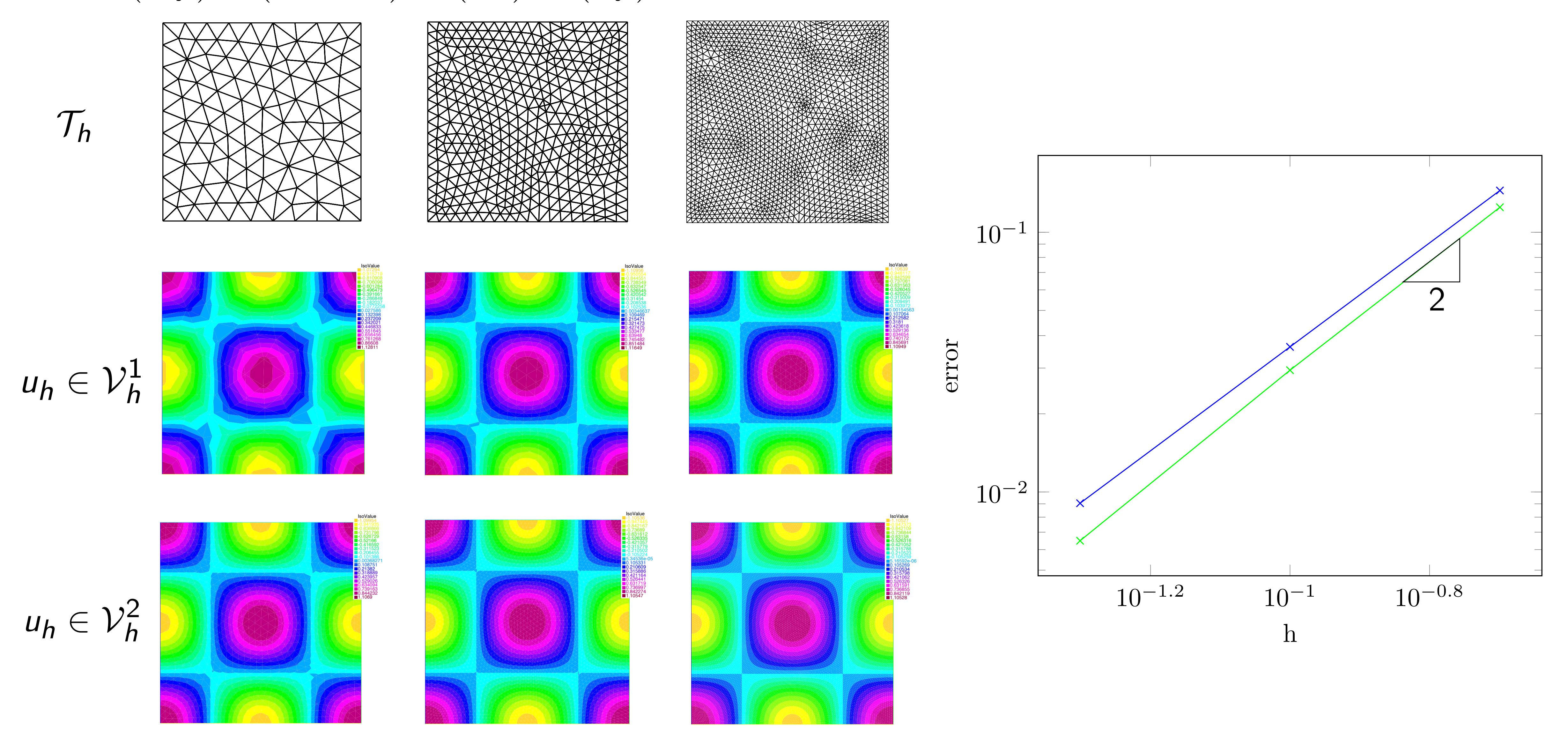




S. Fliss — Introduction à la méthode des éléments finis

# Exemple numérique

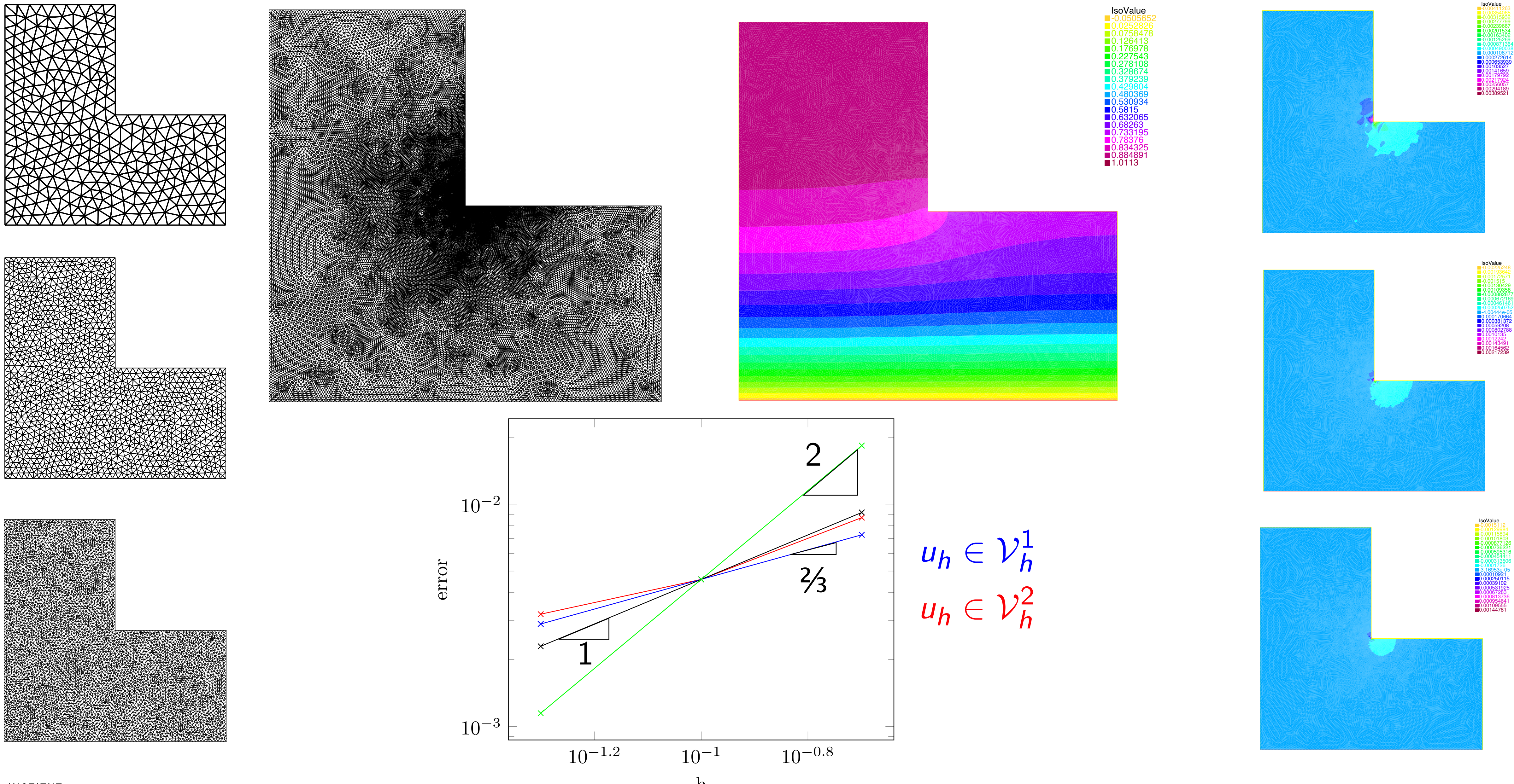
• Pour  $f(x, y) = (2\pi^2 + 1)\cos(\pi x)\cos(\pi y)$  et  $\kappa = 1$ 





S. Fliss — Introduction à la méthode des éléments finis

# Un cas où u n'est pas assez régulière





S. Fliss — Introduction à la méthode des éléments finis

# Séance 6 : Analyse numérique de la méthode des éléments finis

Problème modèle et hypothèses

Convergence de l'approximation interne

Vitesse de convergence

**Autres erreurs** 

### Erreur sur la donnée

Dans la pratique, nous avons plutôt calculé avec des EF P1

$$\forall v_h \in \mathcal{V}_h$$
,  $a(\tilde{u}_h, v_h) = \ell_h(v_h)$  où  $\ell_h(v_h) = \int_{\Omega} (\Pi_h^1 f) v \, d\Omega$ 

Par inégalité triangulaire

$$||u - \tilde{u}_h||_{\mathsf{H}^1(\Omega)} \le ||u - u_h||_{\mathsf{H}^1(\Omega)} + ||u_h - \tilde{u}_h||_{\mathsf{H}^1(\Omega)}$$

où on a d'après ce qui précède

$$||u - u_h||_{\mathsf{H}^1(\Omega)} \le Ch \left( \sum_{l=1}^{N_e} |u|_{2,T_l}^2 \right)^{\frac{1}{2}}$$

$$\|u - u_h\|_{\mathsf{H}^1(\Omega)} \le Ch \left( \sum_{l=1}^{N_e} |u|_{2,T_l}^2 \right)^{\frac{1}{2}}$$
 et 
$$\|f - \Pi_h^1 f\|_{\mathsf{L}^2(\Omega)} \le C' h^2 \left( \sum_{l \in [\![1,N_e]\!]} |f|_{2,T_l}^2 \right)^{\frac{1}{2}}$$

Par ailleurs

$$\nu \|u_h - \tilde{u}_h\|_{\mathsf{H}^1(\Omega)}^2 \leq a(u_h - \tilde{u}_h, u_h - \tilde{u}_h) = \int_{\Omega} (f - (\Pi_h^1 f))(u_h - \tilde{u}_h) \ \mathrm{d}\Omega \leq \|f - (\Pi_h^1 f)\|_{\mathsf{L}^2(\Omega)} \|u_h - \tilde{u}_h\|_{\mathsf{L}^2(\Omega)}$$

On en déduit

$$||u - \tilde{u}_h||_{\mathsf{H}^1(\Omega)} \le Ch \left( \sum_{l=1}^{N_e} |u|_{2,T_l}^2 \right)^{\frac{1}{2}} + \left| \frac{C'}{\nu} h^2 \left( \sum_{l=1}^{N_e} |f|_{2,T_l}^2 \right)^{\frac{1}{2}} \right| \le C'' h (1+h) ||f||_{\mathsf{L}^2(\Omega)}$$

• Donc la vitesse de convergence n'est pas modifiée par l'approximation de f

# Plus généralement erreur de quadrature

• On considère l'approximation par quadrature

$$\int_{\Omega} \kappa(\underline{\mathbf{x}}) \underline{\nabla} \, u_h(\underline{\mathbf{x}}) \cdot \underline{\nabla} \, v_h(\underline{\mathbf{x}}) \, d\Omega = \sum_{T_I \in \mathcal{T}_h} \sum_{1 \le n \le N_q} \alpha_n^I \kappa(\underline{\varphi}_I(\underline{\hat{q}}_n)) \underline{\nabla} \, u_h(\underline{\varphi}_I(\underline{\hat{q}}_n)) \cdot \underline{\nabla} \, v_h(\underline{\varphi}_I(\underline{\hat{q}}_n))$$

• ce qui revient à analyser l'erreur commise en utilisant des approximation du type

$$\int_{\Omega} (\Pi_h^m \kappa)(\underline{x}) \underline{\nabla} u_h(\underline{x}) \cdot \underline{\nabla} v_h(\underline{x}) d\Omega$$

• On résout donc en pratique une formulation variationnelle de la forme  $\forall v_h \in \mathcal{V}_h$ ,  $a_h(u_h, v_h) = \ell_h(v_h)$ 

### Lemme de Strang (admis):

Si les  $a_h$  forment une famille stable, i.e.

$$\exists \beta > 0, \quad \forall v_h \in \mathcal{V}, \quad \sup_{w_h \in \mathcal{V}_h} \frac{a_h(v_h, w_h)}{\|w_h\|_{\mathcal{V}}} \geq \beta \|v_h\|_{\mathcal{V}},$$

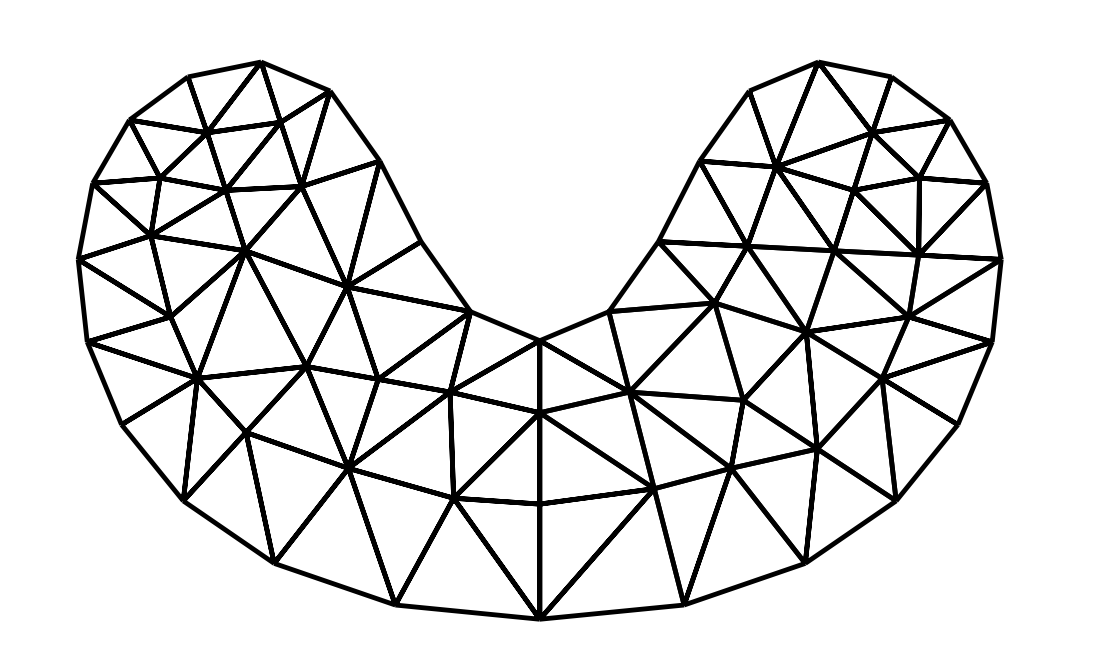
alors il existe une constante C indépendante de h telle que

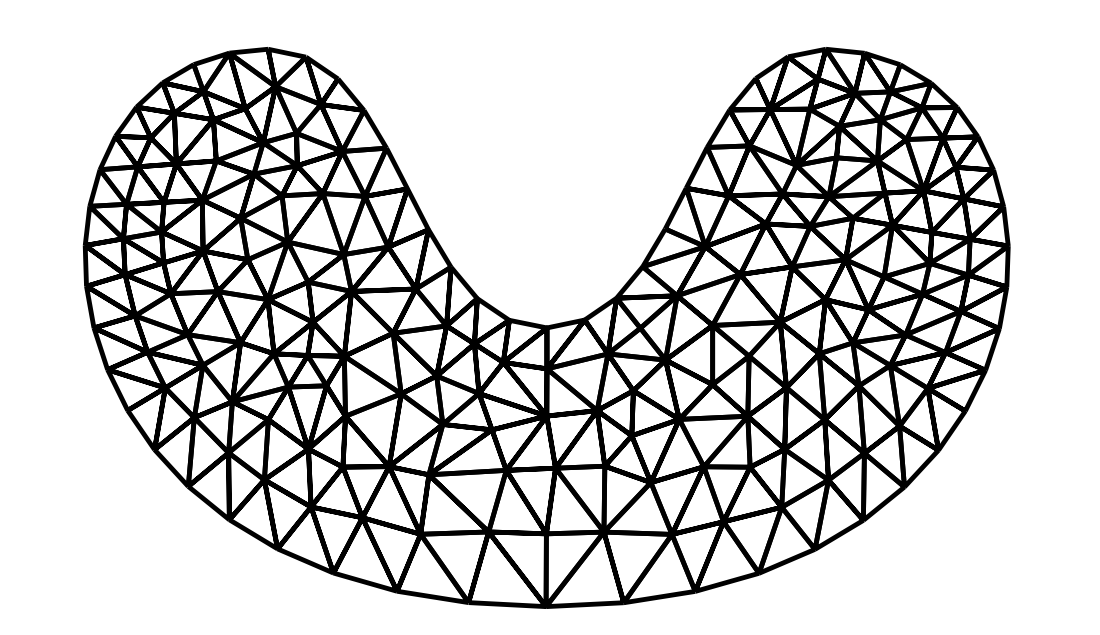
$$\|u - u_h\|_{\mathcal{V}} \le C \inf_{v_h \in \mathcal{V}_h} \left\{ \|u - v_h\|_{\mathcal{V}} + \sup_{w_h \in \mathcal{V}_h} \frac{|a(v_h, w_h) - a_h(v_h, w_h)|}{\|w_h\|_{\mathcal{V}}} + \sup_{w_h \in \mathcal{V}_h} \frac{|\ell(w_h) - \ell_h(w_h)|}{\|w_h\|_{\mathcal{V}}} \right\}$$

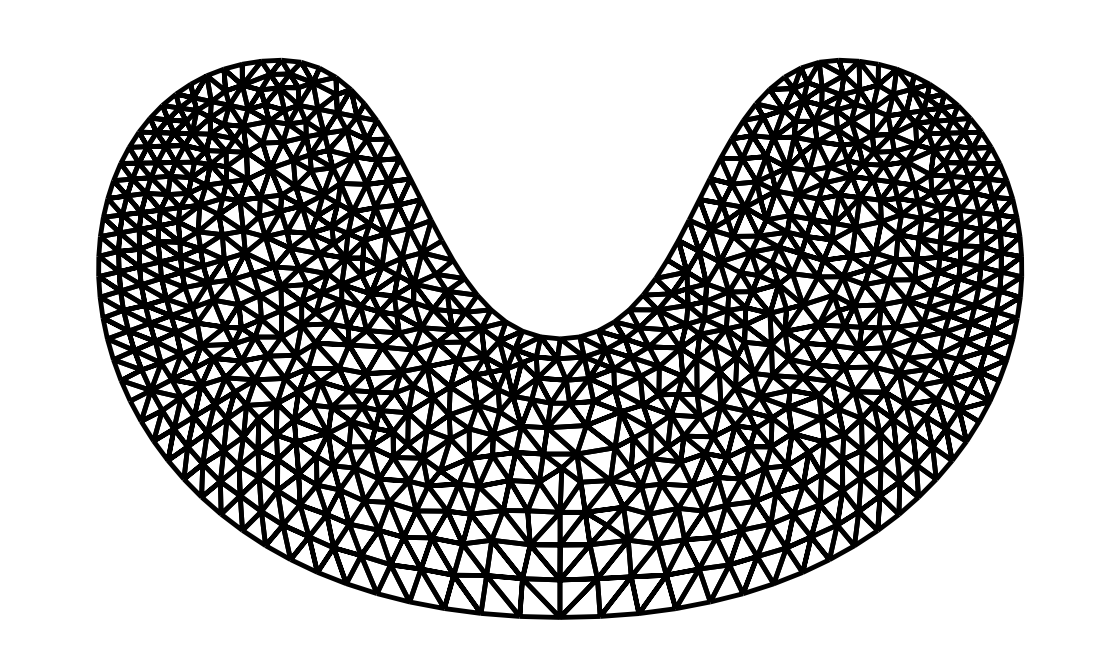
## Domaine courbe

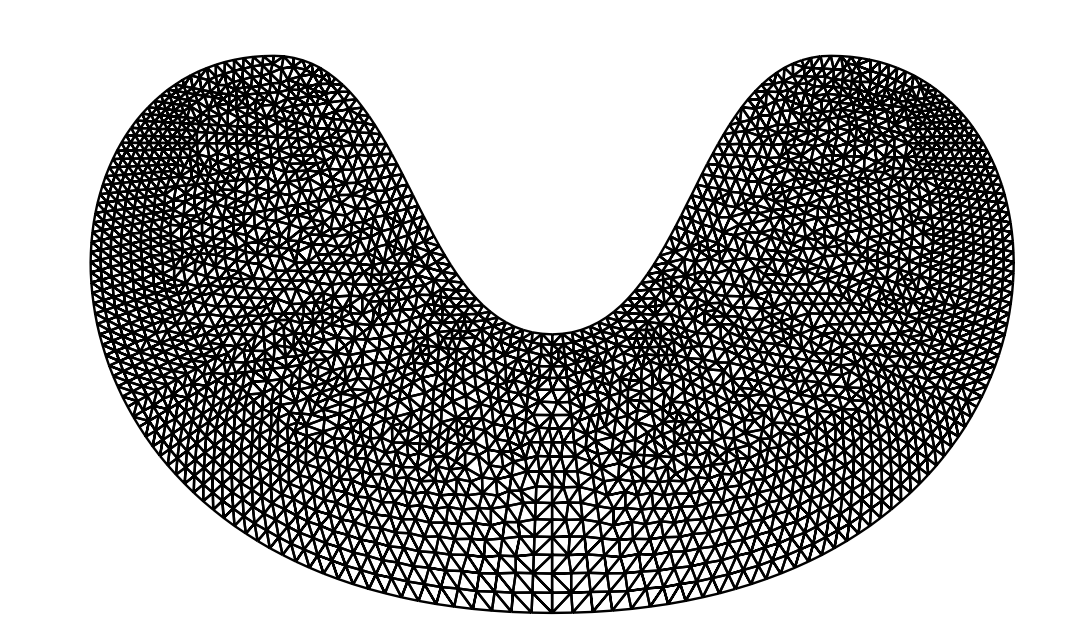
• On approche un domaine courbe par une séquence de maillages polyédriques telle que

$$\operatorname{dist}(\partial\Omega,\partial\Omega_h) \leq Ch^2$$









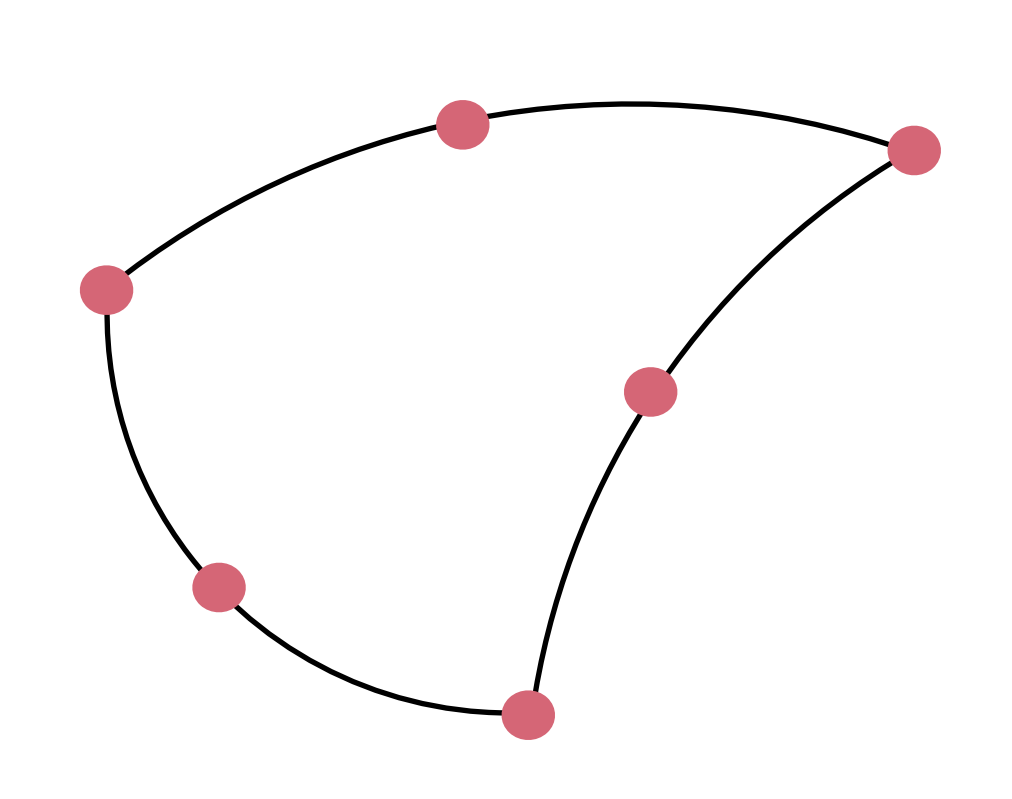
- ullet Dans ce cas nous n'avons plus une approximation interne  ${\cal V}_h 
  ot\subset {\cal V}$
- Mais on arrive tout de même à montrer que si k=1 et  $u\in H^2(\Omega)$

mais si 
$$k \geq 2$$
 et  $u \in H^{k+1}(\Omega)$ 

$$||u-u_h||_{\mathsf{H}^1(\Omega)} \leq Ch|u|_{2,\Omega}$$

$$||u - u_h||_{\mathsf{H}^1(\Omega)} \le Ch^{\frac{3}{2}} |u|_{k+1,\Omega}$$

- $\bullet$  Donc la méthode n'est pas très satisfaisante au delà du  $\mathbb{P}_1$
- Dans le cas général on introduit une description courbe  $(\mathbb{P}_{\it k})$  de la géométrie.
  - On parle d'éléments finis isoparamétriques



### Théorème de Aubin-Nitsche

#### Lemme d'Aubin Nitsche:

Pour la méthode des éléments finis  $\mathbb{P}_1$  on a sous les mêmes conditions le résultat de convergence  $L^2$  :

$$||u-u_h||_{\mathsf{L}^2(\Omega)} \leq Ch^2||f||_{\mathsf{L}^2(\Omega)}$$

• Preuve: On introduit un problème auxiliaire, où on cherche  $w \in H^1(\Omega)$  tel que

$$a(v, \mathbf{w}) = \int_{\Omega} (u - u_h) v d\Omega, \quad v \in H^1(\Omega).$$

pour lequel on a l'estimation

$$\|u - u_h\|_{L^2(\Omega)}^2 = a(u - u_h, w) = a(u - u_h, w - \Pi_h^1 w) \le M \|w - \Pi_h^1 w\|_{H_0^1(\Omega)} \|u - u_h\|_{H_0^1(\Omega)}$$

• On en déduit, en supposant que  $w \in H^2(\Omega)$ 

$$\|u - u_h\|_{L^2(\Omega)}^2 \le C_1 h \|w\|_{H^2(\Omega)} C_2 h \|f\|_{L^2(\Omega)}$$
 et par ailleurs  $\|w\|_{H^2(\Omega)} \le C_3 \|u - u_h\|_{L^2(\Omega)}$ 

On obtient donc bien

$$||u-u_h||_{\mathsf{L}^2(\Omega)} \leq Ch^2||f||_{\mathsf{L}^2(\Omega)}$$



# Examen la semaine prochaine sans documents

Programme: tout ce qui a été fait jusqu'à présent.

Je réponds aux questions dans mon bureau le vendredi 17 après midi.

Un amphi d'ouverture suivra.